

**STUDI HUBUNGAN KUANTITATIF STRUKTUR-AKTIVITAS, MOLECULAR DOCKING DAN EVALUASI IN VITRO BEBERAPA FLAVONOID TANAMAN SEBAGAI COX-2 INHIBITOR**

**QUANTITATIVE STRUCTURE-ACTIVITY RELATIONSHIP, MOLECULAR DOCKING AND IN VITRO STUDY OF SEVERAL FLAVONOIDS AS COX-2 INHIBITORS**

**Dadan Suryasaputra, Rina Anugrah, Algi Ikhsan, Rismaya**

Program Studi Farmasi, Fakultas Farmasi, Universitas Jenderal Achmad Yani,Cimahi.

Naskah diterima tanggal 20 Februari 2019

**ABSTRACT**

Flavonoids are polyphenol group compounds that had anti-inflammatory activity and has been considered a new class of natural anti-inflammatory agents by inhibiting COX-2 enzyme, including hesperidin, diosmin, and ginkgetin. This study objective was to determine the potential of several flavonoids (luteolin, kaemferol, apigenin, quercetin, quersitrine, catechin, baikalein, rutin, and mirisetin) as a COX-2 selective inhibitor using quantitative structure activity relationship, and molecular docking approach, and also their interaction with the COX-2 enzyme. The compounds that QSAR predicted to had COX-2 inhibition activity were rutin, quersitrin, mirisetin and quersetin with a  $\log(1/\text{IC}_{50\text{ predicted}})$  value of 7.52  $\mu\text{M}$ ; 6.25  $\mu\text{M}$ ; 5.48  $\mu\text{M}$ ; and 5.46  $\mu\text{M}$  respectively. Based on the results of molecular docking study, 4 potential flavonoids obtained as COX-2 inhibitors : mirisetin, quercetin, catechin, and apigenin, with RMSD  $0,2301 \pm 0,0185$  and  $\Delta G$  values respectively -8.57; -8.34; -8.68; and -8.54 (kcal/mol). Ligands that have potential for target receptors were tested using ELISA techniques against COX-2 enzyme, which were rutin, quercetin and miricetin, showed percent inhibition of 42.9%; 40.26%; 53.53% compared to celecoxib as a standard with 57.32% inhibition. These three flavonoids were potential to be developed as COX-2 inhibitor.

**Keywords:** QSAR, Molecular Docking, COX-2 Inhibitor, Flavonoids, *in vitro*.

**ABSTRAK**

Flavonoid merupakan senyawa turunan polifenol, yang memiliki aktivitas antiinflamasi dan dianggap sebagai kelompok baru antinflamasi dengan menghambat enzim COX-2, contohnya hesperidin, diosmin, dan ginkgetin. Penelitian ini bertujuan untuk mengetahui potensi beberapa flavonoid (luteolin, kaemferol, apigenin, kuersetin, kuersitrin, katekin, baikalein, rutin, dan mirisetin) sebagai inhibitor selektif COX-2 secara hubungan kuantitatif struktur aktivitas (HKSA), *molecular docking* dan potensinya terhadap enzim COX-2 secara *in vitro*. Flavonoid yang diprediksikan menggunakan HKSA memiliki aktivitas adalah rutin, quersitrin, mirisetin dan quersetin dengan nilai aktivitas  $\log(1/\text{IC}_{50\text{ prediks}})$  berturut-turut 7.52  $\mu\text{M}$ ; 6.25  $\mu\text{M}$ ; 5.48  $\mu\text{M}$ ; dan 5.46  $\mu\text{M}$ . Dari hasil uji *molecular docking* terhadap enzim COX-2 diperoleh 4 flavonoid potensial yaitu; mirisetin, kuersetin, catechin, and apigenin, dengan RMSD  $0,2301 \pm 0,0185$  dan nilai  $\Delta G$ -nya berturut-turut: -8.57; -8.34; -8.68; and -8.54 (kcal/mol). Ligan yang memiliki potensi terhadap reseptor target dilakukan pengujian aktivitas inhibisi COX-2 secara *in vitro* dilakukan dengan teknik ELISA yaitu rutin, quersetin dan mirisetin, dengan persen inhibisi 42,9%; 40,26%; 53,53% dan celecoxib sebagai perbanding dengan 57,32% inhibisi. Ketiga flavonoid ini berpotensi dikembangkan sebagai inhibitor COX-2.

**Kata Kunci :** HKSA, Molecular Docking, COX-2 Inhibitor, Flavonoid, *in vitro*.

**PENDAHULUAN**

Sikloksigenase (prostaglandin endoperoksida sintase atau COX) merupakan salah satu enzim yang berperan dalam proses inflamasi (peradangan). Enzim ini mempunyai

dua isoform yakni sikloksigenase 1 dan 2 (COX-1 dan COX-2) [Leval, et-al, 2000]. COX-1 mengkatalis pembentukan prostanoid prostaglandin, prostasiklin, tromboxan) dan leukotrien [Botting, 2006]. Prostanoid berperan dalam proses trombogenesis dan homeostasis dalam saluran cerna dan ginjal [Rathee et-al, 2009]. COX-2 hampir tidak terdeteksi dalam

**Alamat korespondensi :**

danfm97@gmail.com

kondisi fisiologis normal. Keberadaan COX-2 diinduksi oleh berbagai rangsangan seperti faktor pertumbuhan, ester phorbol, interleukin-1 (IL-1), atau lipopolisakarida (LPS) [Leval, et-al, 2000]. Tingginya kadar COX-2 terdeteksi dalam eksudat dan sumsum tulang belakang hewan percobaan saat terjadi peradangan. Senyawa-senyawa selektif COX-2 inhibitor menunjukkan efek anti-inflamasi, antipiretik dan analgesik pada hewan percobaan dan manusia [Brachmachari et-al, 2008; Damon et-al, 1987].

Flavonoid memiliki aktivitas anti-inflamasi dan telah dianggap sebagai kelas baru agen anti-inflamasi alami [Strzelecka et-al, 2005]. Flavonoid dapat menghambat kerja enzim COX [Brachmachari et-al, 2008]. Beberapa flavonoid berperan dalam menghambat pembentukan prostaglandin, diantaranya hesperidin, diosmin, amentoflavon, bilobetin, morelloflavon dan ginkgetin [Damon et-al, 1987; Kim et-al, 1999; Kitchen et-al, 2004].

Penelitian ini bertujuan untuk mengetahui interaksi dan aktivitas beberapa flavonoid (luteolin, kaemferol, apigenin, kuersetin, kuersitrin, katekin, baikalein, rutin, dan mirisetin) dengan enzim COX-2 dan potensinya sebagai inhibitor selektif COX-2 melalui pendekatan Hubungan Kuantitatif Struktur-Aktivitas (HKSA), *docking* molecular dan pengujian secara *in vitro*.

## METODE PENELITIAN

Pengujian *in silico* akan dilakukan berdasarkan *ligand based drug design* (LBDD) yaitu rancangan obat berdasarkan ligan yang sudah diketahui aktivitasnya sebagai inhibitor COX-2 dengan menggunakan beberapa perangkat lunak. Metode LBDD yang digunakan adalah kajian HKSA [Tahir dkk, 2003] dan *docking* molekular [Madeswaran et-al, 2012; Taylor e-al, 2002]. Perangkat lunak yang akan digunakan adalah MarvinSketch® dan Discovery Studio Client® untuk desain molekul dan optimasi ligan serta perhitungan descriptor, EasyQSAR® untuk membangun model persamaan HKSA, ChemBioOffice® Ultra v.13 untuk optimasi enzim, AutoDocks® untuk *docking* dan Discovery Studio Client® untuk visualisasi tiga dimensi (3D) hasil *docking*.

Hasil prediksi aktivitas melalui model persamaan HKSA berupa prediksi nilai aktivitas ( $\text{Log } 1/\text{IC}_{50}$  dalam satuan  $\mu\text{Molar}$ ) [Tahir dkk, 2003], hasil *docking molecular* dinilai berdasarkan beberapa parameter yaitu energi aktivasi ( $\Delta G$ ), ikatan yang terbentuk, jarak ikatan dan asam amino yang terlibat dalam ikatan ligan-enzim.[Agista dkk, 2013; Morris GM & Lim-Wilby M, 2008].

Pengujian aktivitas inhibisi COX-2 secara *in vitro* akan dilakukan dengan teknik ELISA (*Enzyme Linked Immunosorbent Assay*)

Microplate Reader DNM-9602G menggunakan metode *Colorimetric COX screening assay* terhadap beberapa flavonoid yang diprediksikan memiliki potensi sebagai COX-2 secara HKSA dan docking [Pradelles et-al, 1985].

### Metode

#### 1. Prediksi Aktivitas Melalui pendekatan HKSA

Persamaan HKSA dibangun dengan melibatkan 7 deskriptor yang mewakili sifat fisikokimia lipofilisitas ( $\log P$ , Molar refractivity), elektronik (HOMO, LUMO, Moment dipole) dan sterik (Randix index; Harary index) serta melibatkan 25 senyawa yang diketahui telah memiliki aktivitas sebagai COX-2 inhibitor turunan celecoxib. Nilai deskriptor dari 25 senyawa turunan Celecoxib dapat dilihat pada Tabel 1 [Siswandono, Soekardjo B, 2011].

#### 2. Molecular Docking

Molecular docking melibatkan beberapa reseptor COX-2 yang sudah teridentifikasi dan diunduh dari PDB, yaitu enzim COX-2 dengan kode PDB 6COX, 4COX, dan 3PGH. Sebagai ligan uji digunakan sembilan senyawa flavonoid yaitu luteolin, kaemferol, apigenin, kuersetin, kuersitrin, katekin, baikalein, rutin, dan mirisetin. Sebagai pembanding antiinflamasi digunakan obat golongan *Non Steroid AntiInflammatory Drugs* (NSAID) yaitu celecoxib sebagai *selective inhibitor COX-2*.

#### 3. Uji *in vitro*

Pengujian aktivitas inhibisi COX-2 secara *in vitro* dilakukan dengan teknik ELISA, menggunakan Kit *colorimetric COX (ovine) inhibitor screening assay* No. 560131 (Cayman Chem Com, 2011). Uji aktivitas flavonoid dilakukan pada *micro plate*. Sebanyak 100  $\mu\text{l}$  buffer (*Enzyme Immuno Assay*) EIA dimasukkan pada *sumur Non Spesific Binding* (NSB). Sebanyak 50  $\mu\text{l}$  buffer EIA pada *sumur B0*. Larutan standar prostaglandin ditambahkan sebanyak 50  $\mu\text{l}$  pada masing-masing *sumur S1-S8*. *Sumur BC* diisi dengan 50  $\mu\text{l}$  larutan *background*, sebanyak 50  $\mu\text{l}$  larutan aktivitas awal COX-2 dengan pengenceran 2.000 kali pada *sumur (%)*, selanjutnya pada *sumur inhibitor COX-2* diisi dengan larutan senyawa uji yang telah diencerkan 2.000 kali.

Tahap berikutnya, setiap *sumur* ditambahkan prostaglandin asetilkolinesterase (PG AchE tracer) kecuali pada *sumur Total Activity* (TA) dan Blk (Blanko), setiap *sumur* ditambahkan 50  $\mu\text{l}$  antiserum prostaglandin kecuali *sumur TA* dan NSB kemudian plat ditutup dan diinkubasi selama 18 jam pada suhu ruang. Setelah *plate* diinkubasi, *plate* dicuci dengan larutan penyangga pencuci, kemudian setiap *sumur* ditambahkan dengan perekasi Ellman sebanyak 0.2 ml dan *sumur TA* diisi dengan larutan PG AchE tracer atau prostaglandin

**Tabel 1. Senyawa turunan celecoxib beserta nilai deskriptor dan aktivitasnya**

Kode Senyawa	Nama Senyawa	IC 50	LOG (1/IC50)	LogP	HOMO	LUMO	Molar Refractivity	Randic Index	Harary Index	Momen Dipol
A1	2-(4-Sulfamoylphenyl)-3-(4-methoxyphenyl)-1H-indole	0.00 000 6	5.22	3.73	-8.284 19	-1.043 83	120.18	12.97	105.07	4.644
A2	3-(4-Fluorophenyl)-2-(4-(methylsulfonyl)phenyl)-1H-indole	0.000 02	4.69	4.27	-8.571 52	-1.208 34	114.35	12.43	100.1	4.92
A3	3-(4-Methoxyphenyl)-2-(4-(methylsulfonyl)phenyl)-1H-indole	0.000 02	4.69	3.97	-8.344 07	-1.143 82	120.6	12.97	105.07	4.512
A4	4-(5-Methyl-3-phenyl-1H-indol-2-yl)benzenesulfonamide	0.000 02	4.69	4.41	-8.346 65	-1.007 21	118.09	12.43	100.5	4.184
A5	4-(3-p-Tolyl-1H-indol-2-yl)benzenesulfonamide	0.000 692	4.16	4.41	-8.403 57	-1.042 19	113.81	12.43	100.1	4.304
A6	4-(3-Phenyl-1H-indol-2-yl)benzenesulfonamide	0.000 891	4.05	3.89	-8.421 49	-1.022 6	113.81	12.04	94.8	4.323
A7	2-(4-(Methylsulfonyl)phenyl)-3-phenyl-1H-indole	0.000 891	4.05	4.64	-8.463 58	-1.124 8	118.5	12.43	100.1	4.532
A8	4-(5-Chloro-3-phenyl-1H-indol-2-yl)benzenesulfonamide	0.00141	3.85	4.5	-8.548 01	-1.146 71	118.53	12.43	100.5	3.661
A9	3-(3,4-Dimethylphenyl)-2-(4-(methylsulfonyl)phenyl)-1H-indole	0.00017	3.77	5.15	-8.338 24	-1.138 71	122.79	12.84	106.09	4.46
A10	N-(4-(3-Phenyl-1H-indol-2-yl)phenylsulfonyl)acetamide	0.000178	3.75	3.88	-8.35	-1.103 64	122.19	13.45	110.2	5.542
A11	5-Methyl-2-(4-(methylsulfonyl)phenyl)-3-phenyl-1H-indole	0.000282	3.55	4.64	-8.398 33	-1.110 78	118.5	12.43	100.5	4.267
A12	5-Chloro-2-(4-(methylsulfonyl)phenyl)-3-phenyl-1H-indole	0.000363	3.44	4.73	-8.632 96	-1.231 09	118.94	12.43	100.5	3.431
A13	3-(4-Bromophenyl)-2-(4-(methylsulfonyl)phenyl)-1H-indole	0.000372	3.43	4.9	-859 8558	-1.237 79	121.76	12.43	100.1	4.8
A14	Celecoxib	0.00051	3.29	4.01	-9.548 42	-1.258 28	102.66	12.05	98.35	7.53
A15	4-[5-Chloro-3-(4-chlorophenyl)-1H-indol-2-yl]benzenesulfonamide	0.000537	3.27	5.01	-8.611 8	-1.213 1	123.24	12.83	105.91	3.153
A16	4,7-Ethanoo-4,5,6,7-tetrahydro-1,3-bis(4-fluorophenyl)-2H-isoxindole	0.000601	3.22	6.04	-8.140 88	-1.110 37	105.87	12.2	97.4	0.3278
A17	2-(4-Methylsulphenyl)-3-phenyl-1H-indole	0.000603	3.22	4.13	-8.492 05	-1.132 92	114.22	12.04	94.8	4.409
A18	2,4,5,6-Tetrahydro-1,3-diphenylcyclopenta[c]pyrrole	0.000701	3.15	5.2	-7.905 78	-0.293 65	93.72	9.93	68.81	0.793
A19	5-Chloro-3-(3-chlorophenyl)-2-(4-(methylsulfonyl)phenyl)-1H-indole	0.000794	3.1	5.33	-8.718 58	-1.316 53	123.66	12.83	106.29	4.215
A20	4,7-Methanoo-4,5,6,7-tetrahydro-1,3-bis(4-fluorophenyl)-2H-isoxindole	0.0011	2.95	5.59	-8.157 19	-0.543 78	101.27	11.7	91.37	0.4451
A21	5-Bromo-2-(4-(methylsulfonyl)phenyl)-3-phenyl-1H-indole	0.00141	2.85	4.9	-8.646 8	-1.258 37	121.76	12.43	100.5	3.228
A22	4-(3,4-Dimethylphenyl)-1H-indol-2-ylbenzenesulfonamide	0.00145	2.83	4.92	-8.272 07	-1.018 94	122.37	12.84	106.09	3.544
A23	1,3-Diphenyl-4,5,6,7-tetrahydro-2H-isoxindole	0.0015	2.82	5.64	-7.925 08	-0.177 81	98.32	10.43	73.95	1.059
A24	4,7-Ethanoo-4,5,6,7-tetrahydro-1,3-diphenyl-2H-isoxindole	0.0016	2.79	5.75	-7.962 68	-0.154 7	105.62	11.42	87.09	0.9952
A25	1,3-Bis(4-fluorophenyl)-4,5,6,7-tetrahydro-2H-isoxindole	0.0017	2.77	5.93	-8.111 89	-0.508 17	98.58	11.22	83.79	0.2364

asetilkolinesterase (*tracer*) sebanyak 5 µL. *Micro plate* ditutup menggunakan plastik film dan dibiarkan bereaksi dengan diinkubasi pada ruang gelap selama 60-90 menit lalu diukur menggunakan *Elisa reader* dengan panjang gelombang 412 nm. Aktivitas inflmasi diperoleh dengan perhitungan absorbansi.

Nilai % inhibisi pada konsentrasi 100 ppm diperoleh berdasarkan persamaan garis  $Y = a + bx$  dari kurva standar prostaglandin yang telah dibuat. Nilai x yang diperoleh dari persamaan (1) sebanding dengan konsentrasi prostaglandin yang berhasil dihambat oleh COX-2.

$$Y = a + b \ln(x) \dots \dots \dots (1)$$

Keterangan:

$$\begin{aligned} a \text{ dan } b &= \text{konstanta} \\ X &= [\text{prostaglandin}] \text{ pg/mL} \\ Y &= \% \text{ inhibisi} \end{aligned}$$

## HASIL DAN PEMBAHASAN

### 1. Prediksi Aktivitas Melalui pendekatan HKSA

Persamaan HKSA diperoleh dengan menghubungkan antara nilai sifat fisikokimia (deskriptor) dengan nilai aktivitas 25 senyawa turunan celecoxib, yang tercantum pada Tabel 1. Senyawa turunan celecoxib beserta nilai deskriptor dan aktivitasnya, menggunakan pendekatan matematik persamaan regresi linier multivariasi melalui perangkat lunak EasyQSAR® yang kemudian persamaan HKSA tersebut

**Tabel 2. Nilai aktivitas senyawa turunan celecoxib**

Kode Senyawa	LOG (1/IC50) Eksperimen	LOG (1/IC50) Prediksi
A6	4.05	4.1
A8	3.85	3.67
A11	3.55	3.57
A12	3.44	3.52
A13	3.43	3.43
A15	3.27	3.32
A18	3.15	3.15
A19	3.1	3.09
A20	2.95	2.97
A24	2.79	2.79
A25	2.77	2.75

digunakan untuk memprediksi aktivitas sembilan senyawa flavonoid dengan luaran berupa konsentrasi ( $\mu$ Molar). EasyQSAR® menghasilkan persamaan hubungan kuantitatif struktur-aktivitas (HKSA) yang memberikan pendekatan deskripsi dan prediksi terbaik adalah sebagai berikut (persamaan (2)):

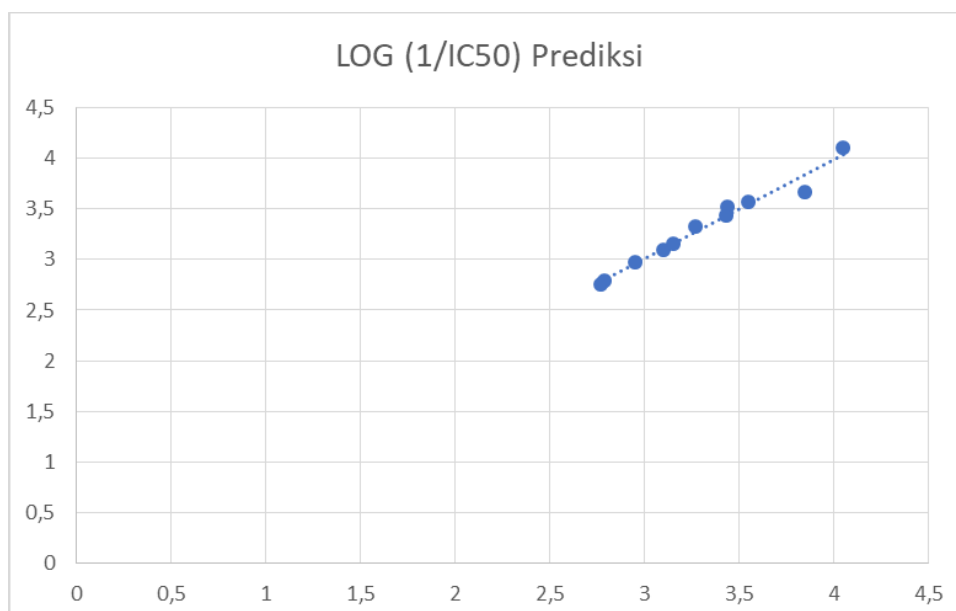
dengan analisis statistik yaitu :  $r=0,99$ ,  $r^2=0.98$   $SE=0.04$   $F_{hit}/F_{tab}=16,11$ . Data validasi persamaan HKSA serta kurva validasinya dapat dilihat pada Tabel 2 dan Gambar 1.

Senyawa flavonoid dihitung nilai deskriptornya. Nilai deskriptor senyawa flavonoid

dapat dilihat pada Tabel 4. Nilai deskriptor senyawa Flavonoid. Nilai deskriptor tersebut disubtitusi ke persamaan HKSA (persamaan (2)) sehingga diperoleh nilai aktivitas. Nilai aktivitas ( $\log(1/IC_{50})$ ) hasil prediksi senyawa flavonoid dapat dilihat pada Tabel 3. Flavonoid yang memiliki aktivitas COX-2 inhibitor terbaik yaitu rutin, kuersitrin, quersetin dan mirisetin dengan nilai  $\log(1/IC_{50\text{pred}})$  berturut-turut 7,52  $\mu\text{M}$ , 6,25  $\mu\text{M}$ , 5,46  $\mu\text{M}$ , 5,48  $\mu\text{M}$ , dan senyawa pembanding celecoxib memiliki nilai  $\log(1/IC_{50})$  sebesar 3,29  $\mu\text{M}$ .

## 2. Prediksi Aktivitas Melalui *Molecular Docking*

Penelitian ini menggunakan enzim COX-2 sebagai protein target dengan tiga kode PDB yaitu 6COX, 4COX, dan 3PGH. Senyawa *original ligand* yang terdapat pada file PDB 6COX adalah



**Gambar 1. Kurva validasi persamaan HKSA**

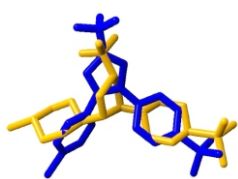
**Tabel 3. Nilai IC<sub>50predicted</sub> Flavonoid dari persamaan HKSA**

No.	Nama	Log(1/IC50) ( $\mu\text{M}$ )	IC50 ( $\mu\text{M}$ )
1	Luteolin	<b>5.09</b>	<b><math>8 \times 10^{-6}</math></b>
2	Kaemferol	<b>5.04</b>	<b><math>9 \times 10^{-6}</math></b>
3	Apigenin	<b>4.85</b>	<b><math>1.4 \times 10^{-5}</math></b>
4	Quersetin	<b>5.46</b>	<b><math>3.5 \times 10^{-6}</math></b>
5	Quersitrin	<b>6.25</b>	<b><math>5.6 \times 10^{-7}</math></b>
6	Katekin	<b>5.45</b>	<b><math>3.5 \times 10^{-6}</math></b>
7	Baikalein	<b>5.45</b>	<b><math>3.5 \times 10^{-6}</math></b>
8	Rutin	<b>7.52</b>	<b><math>3 \times 10^{-8}</math></b>
9	Mirisetin	<b>5.48</b>	<b><math>3.3 \times 10^{-6}</math></b>
	Celecoxib	<b>3.29</b>	<b><math>5.1 \times 10^{-4}</math></b>

**Tabel 4. Nilai deskriptor senyawa Flavonoid**

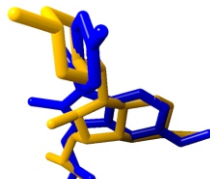
No.	Nama	LogP	HOMO	LUMO	Molar Refractivity	Randic Index	Harary Index	Momen Dipol
1	Luteolin	2.40	-8.9919	-0.8419	81.49	9.95	73.24	4.901
2	Kaemferol	2.46	-8.6079	-0.7969	81.56	9.97	73.94	4.501
3	Apigenin	2.71	-9.0759	-0.7402	79.88	9.54	67.99	5.143
4	Quersetin	2.16	-8.6015	-0.8626	83.17	10.38	79.35	4.719
5	Quersitrin	0.90	-8.8209	-0.9777	114.06	15.08	137.77	2.095
6	Katekin	1.80	-8.9321	-0.0857	80.69	9.95	73.26	3.286
7	Baikalein	1.80	-8.9321	-0.0857	80.69	9.95	73.26	3.286
8	Rutin	-0.87	-8.8248	-1.0026	146.47	20.28	205.94	3.538
9	Mirisetin	1.85	-8.6518	-0.9115	84.77	10.79	85.02	5.428

a. 1-phenylsulfonamide -3-trifluoromethyl-5-parabromophenylpyrazole



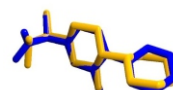
PDB : 6COX  
RMSD  $0,825 \pm 0,0117 \text{ \AA}$

b. indometasin



PDB : 4COX  
RMSD  $0,650 \pm 0,0117 \text{ \AA}$

c. flubiprofen



PDB : 3PGH  
RMSD  $0,230 \pm 0,0185 \text{ \AA}$

**Gambar 2. Visualisasi hasil docking ulang senyawa ligan original pada Enzim COX**

**Tabel 5. Nilai Energi Bebas Ikatan Kompleks Flavonoid dengan COX-2**

No	Ligan Uji	Energi Bebas Ikatan Kompleks Ligan uji-Protein Target ( $\Delta G$ (Kkal/Mol))		
		6COX	4COX	3PGH
1	Apigenin	-8,54	-8,54	-7,35
2	Baikalein	-7,74	-8,16	-7,29
3	Kaemferol	-7,89	-8,21	-7,05
4	Katekin	-8,14	-8,68	-6,89
5	Kuersetin	-8,29	-8,34	-6,87
6	Kuersitri	-8,53	-7,79	-7,85
7	Luteolin	-8,34	-8,03	-7,44
8	Mirisetin	-9,05	-8,57	-7,17
9	Rutin	-5,85	-4,44	-2,44
10	Celecoxib (Pembanding)	-11,18	-10,01	-9,42

**Tabel 6. Persen Inhibisi COX-2**

No.	Nama senyawa	Konsentrasi ( $\mu\text{g/mL}$ )	% Inhibisi COX-2
1	Celecoxib	10	57.32 $\pm$ 0.05
2	Rutin	10	42.9 $\pm$ 0.02
3	Quersetin	10	40.26 $\pm$ 0.03
4	Mirisetin	10	53.53 $\pm$ 0.03

1-phenylsulfonamide-3-trifluoromethyl-5-parabromophenylpyrazole, pada file PDB 4COX adalah indometasin dan pada file PDB 3PGH dengan flurbiprofen., seperti yang terlihat pada Gambar 2. Masing-masing kode reseptor memenuhi syarat dengan nilai RMSD < 2 Å.

Hasil pengujian sembilan senyawa flavonoid dan satu pembanding dengan metode *molecular docking* dapat dilihat pada Tabel 5. Nilai Energi Bebas Ikatan Kompleks Flavonoid dengan COX-2. Hasil pengujian memperlihatkan bahwa senyawa flavonoid menunjukkan aktivitas lebih baik terhadap reseptor 6COX dan 4COX, dibandingkan terhadap reseptor 3PGH. Untuk senyawa pembanding celecoxib, memperlihatkan energi bebas ikatan Ligand-Reseptor yang cukup rendah terhadap ketiga kode PDB, dengan nilai energi bebas ikatan Ligand-Reseptor yang lebih kecil dari -9 Kkal/mol.

### 3. Hasil uji *in vitro* beberapa flavonoid dengan metode ELISA

Hasil pengujian secara *in vitro* dapat dilihat pada Tabel 6. Pengujian secara *in vitro* terhadap tiga senyawa flavonoid, yang diprediksi memiliki aktivitas secara HKSA dan *molecular docking*, diperoleh data bahwa

mirisetin memiliki persen inhibisi sebesar 53,53% yang mendekati aktivitas celecoxib sebagai senyawa pembanding, sebesar 57,32%.

### KESIMPULAN

Dari hasil prediksi secara komputasi menggunakan pendekatan HKSA, docking molecular, dan uji *in vitro* terhadap enzim COX-2 diperoleh senyawa flavonoid yang berpotensi sebagai inhibitor COX-2 adalah Rutin, Kuersetin, dan Mirisetin.

### SARAN

Perlu dilakukan perhitungan HKSA dan docking molecular dengan tes set dan senyawa pembanding yang lebih banyak untuk validasi data, dan pengujian *in vitro* untuk senyawa flavonoid lain yang belum diujicobakan.

### UCAPAN TERIMA KASIH

Kepada Kementerian Riset Teknologi dan Pendidikan Tinggi Republik Indonesia yang telah mendanai penelitian ini melalui skema Penelitian Dosen Pemula tahun 2018.

**DAFTAR PUSTAKA**

- Agista, Dany D, Purnomo H, Tegar M, Nugroho AG. Interaksi senyawa aktif dari Aegle marmelos correa. sebagai anti-inflamasi dengan reseptor COX-1 dan COX-2. *Trad. Med. J.* 2013;18(2):80.
- Botting RM. 2006. Cyclooxygenase: Past, present and future. *J. Therm. Bio.* 2004;1017(31):208.
- Brahmachari G, Jash SK, Mandal LC, Mondal A dan Roy R. Cyclooxygenase (COX) – inhibitory flavonoid from Limnophila heterophylla. *Rasayan journal of chemistry.* 2008;1(2):288-291.
- Damon M, Flandre O dan Fichel F. Effect of chronic treatment with a purified flavonoid fraction on inflammatory granuloma in the rat: Study of prostaglandin E2 and F2 and thromboxane B2 release and histological changes. *Arzneimittel-Forschung.* 1987;37(10):1149-1153.
- Kim H.K, Son KH, Chang HW, Kang SS dan Kim HP. Inhibition of rat adjuvant-induced arthritis by ginkgetin and biflavone. *Planta Med.* 1999;65:465-467.
- Kitchen DB, Decornez H, Furr JR dan Bajorath J. Docking and scoring in virtual screening for drug discovery: Methods and applications. *Nature review, Drug Discovery.* 2004;3:935-949.
- Leval XD, Delarge J, Somers F, Tullio PD, Henrotin Y, Pirotte B dan Dogné JM. 2000. Recent advances in inducible cyclooxygenase (COX-2) inhibition. *Current Medicinal Chemistry.* 2000;7:1041-1062.
- Madeswaran A, Umamaheswari M, Asokkumar K, Thirumalaisamy, Sivashanmugam, Subhadra Devi V dan Jagannath P. In silico docking studies of cyclooxygenase inhibitory activity of commercially available flavonoids. *Asian Journal of Pharmacy and Life Science.* 2012;2 (2):174-181.
- Morris GM dan Lim-Wilby M. Molecular docking, methods in molecular biology, dalam Kukol, A, Molecular modeling of proteins. Humana Press, Totowa, New Jersey. 2008: 365-382.
- Pradelles P, Grassi J, and Maclouf J A. Enzyme immunoassays of eicosanoids using acetylcholinesterase as label: An alternative to radioimmunoassay. *Anal. Chem.* 1985;57:1170-1173.
- Rathee P, Chaudhary H, Rathee S, Rathee D, Kumar V dan Kohli K. Mechanism of action of flavonoids as anti-inflammatory agents: A Review. *Inflammation & Allergy - Drug Targets.* 2009;8:229-235.
- Siswandono, Soekardjo B. Kimia Medisinal. Jilid 1. Surabaya: Airlangga University Press; 2011. Hal. 255-276.
- Strzelecka M, Bzowska M, Kozieł K, Szuba B, Dubiel O, nunez DR, Heinrich M, dan Beretaanti J. Inflammatory effects of extracts from some traditional mediterranean diet plants. *Journal of physiology and pharmacology.* 2005;56(1):139-156.
- Tahir I, Wijaya K, dan Widaningsih D. Hubungan Kuantitatif Struktur-Aktivitas Antiradikal Senyawa Turunan Flavon/Flavonol Berdasarkan Pendekatan Free Wilson. Semarang: Universitas diponegoro; 2003.
- Taylor RD, Jewsbury PJ dan Essex JW. A review of protein-small molecule docking methods. *Journal of Computer-Aided Molecular Design.* 2002;16: 151–166.

